
Evolutionary and Structural analysis of **human Dyrk3**

Advisor 罗静初

Leader 刘 番

Members 邓喆方 张 莹 王 治 滕德群 孟德兰 徐聪颖

Date 04/01/2020

CONTENTS

- Background
 - Evolutional analysis of Dyrk3
 - Structural analysis of Dyrk3
 - Structure-based drug design
-

Overview of DYRKs Family

- 双特异性酪氨酸磷酸化调控激酶

(CMGC 家族)

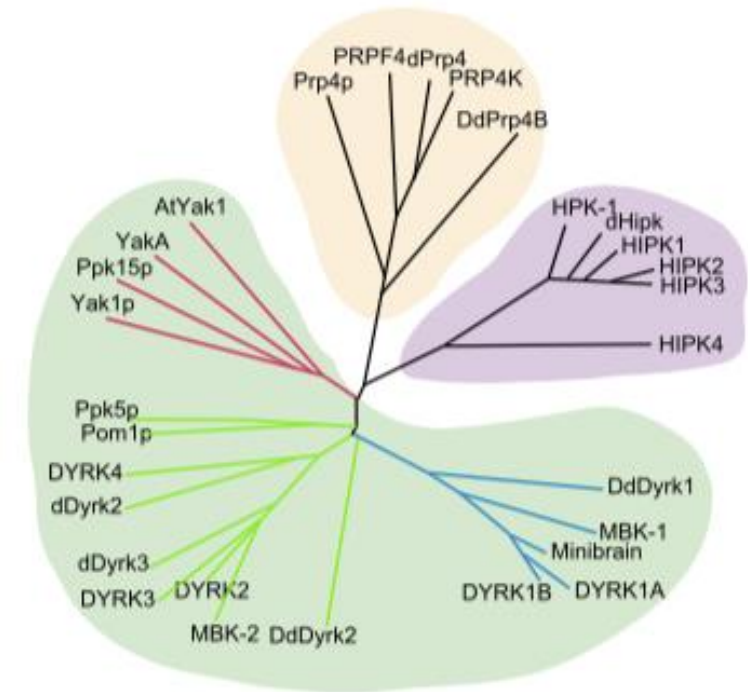
(在 Tyr 发生自磷酸化, 磷酸化底物的 Ser & Thr 位点)

- 在真菌、原生动物、植物、动物中十分保守

- **DYRK1A, DYRK1B, DYRK2, DYRK3, DYRK4**

(哺乳动物细胞)

(在激酶结构域及其上游区域保守)



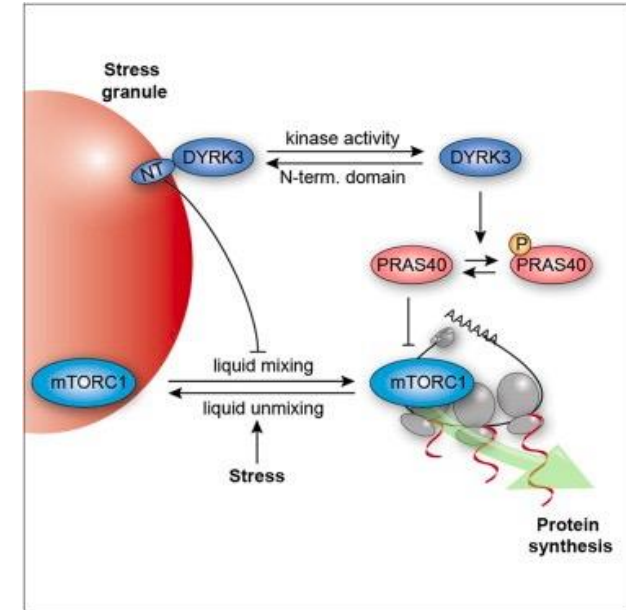
Function of DYRK3

Dyrk3 主要有以下功能:

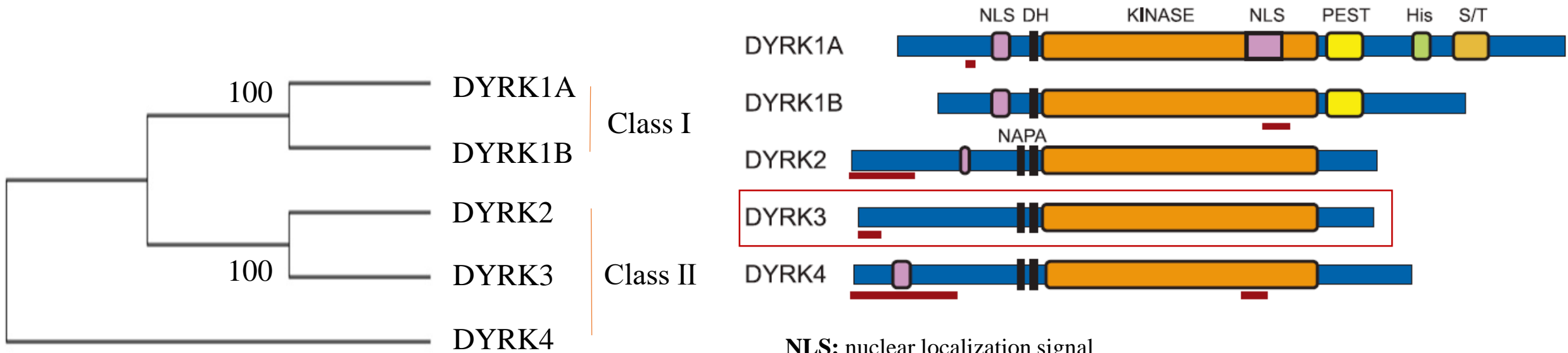
- 在有丝分裂时期参与无膜细胞器的溶解
- 帮助无膜细胞器压力粒子的定位 (通过mTOR pathway, 但其分子机制尚不清楚)

研究目的:

- 通过演化分析寻找序列中重要的突变位点, 以为Dyrk3蛋白功能的分子机制提供思路
- DYRK3 在造血细胞中选择性高表达并减弱成红细胞的发育, 是导致**贫血**主要原因之一。本研究希望通过对Dyrk3的结构特性进行分析, 以为设计更强而有效的抑制剂提供思路, 应用于贫血治疗



Evolutional analysis of Dyrk3



NLS: nuclear localization signal

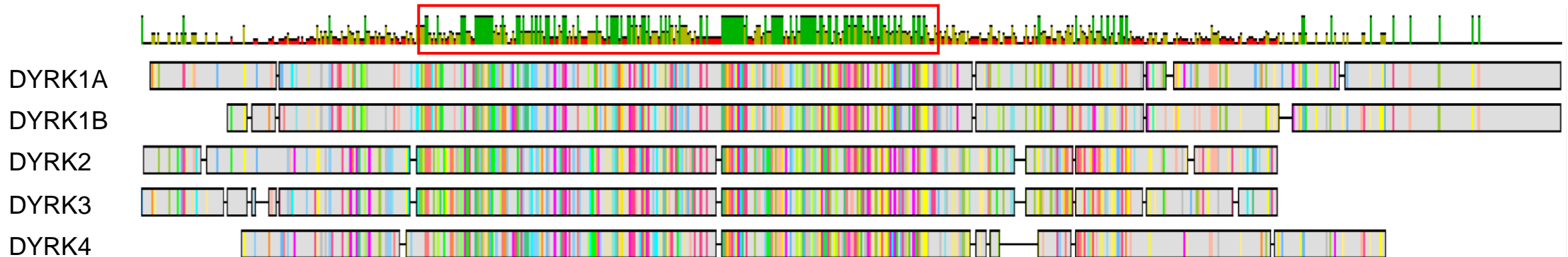
DH: DYRK-homology box

NAPA: N-terminal autophosphorylation accessory region

N端自磷酸化辅助区域

Aranda et al. 2010.

Kinase domain



Evolutional analysis of Dyrk3

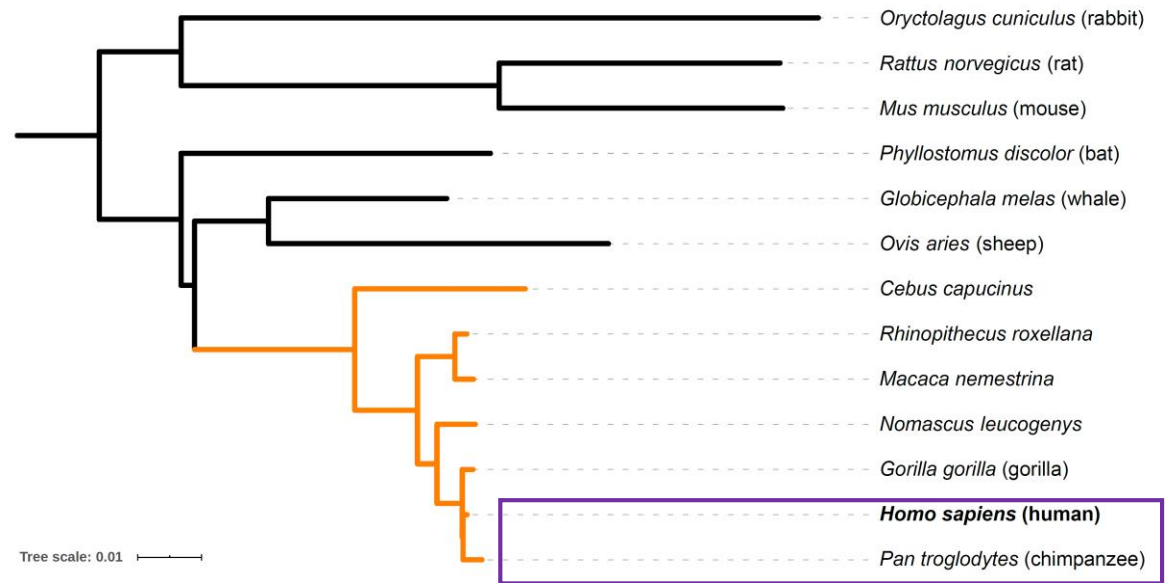
Detection of Positive Selection Using PAML

$\omega = dN/dS$, 非同义突变率和同义突变率的比值

$\omega < 1$, 负向选择

$\omega = 1$, 中性进化

$\omega > 1$, 正向选择



分支模型 (branch models) 得到的 ω 值在进化树的各分支间差异较大, 从而对于检测在某些谱系上发生的正向选择十分有效

- 零假设: 系统发生树中的所有分支具有同样的dN/dS
- 备选假设: 我们指定的分支具有和背景不同的dN/dS

$P \text{ value} = 3.49 \times 10^{-3}$

分支-位点模型 (branch-site models)

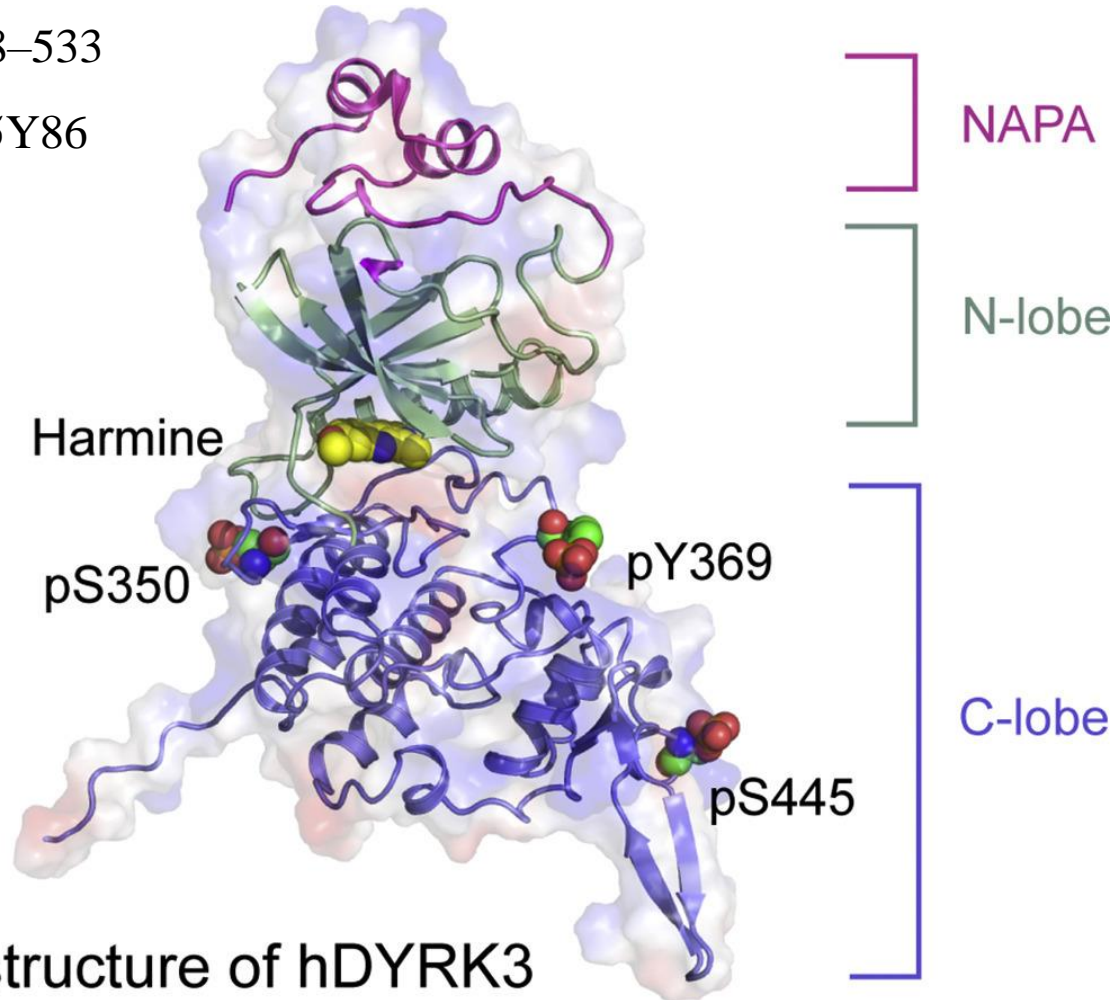
45 R 0.983

Structural analysis of Dyrk3

Residues : 138–533

PDB entry : 5Y86

1.9 Å

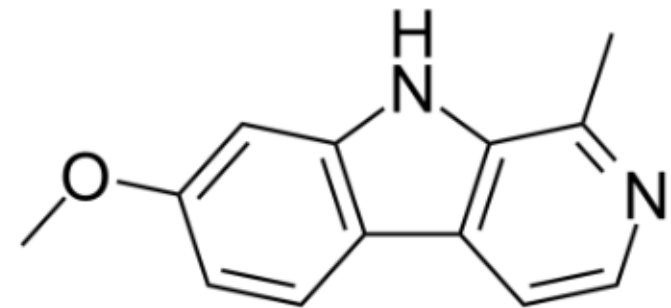


Crystal structure of hDYRK3

Similar to other DYRKs family members
—— a common kinase fold

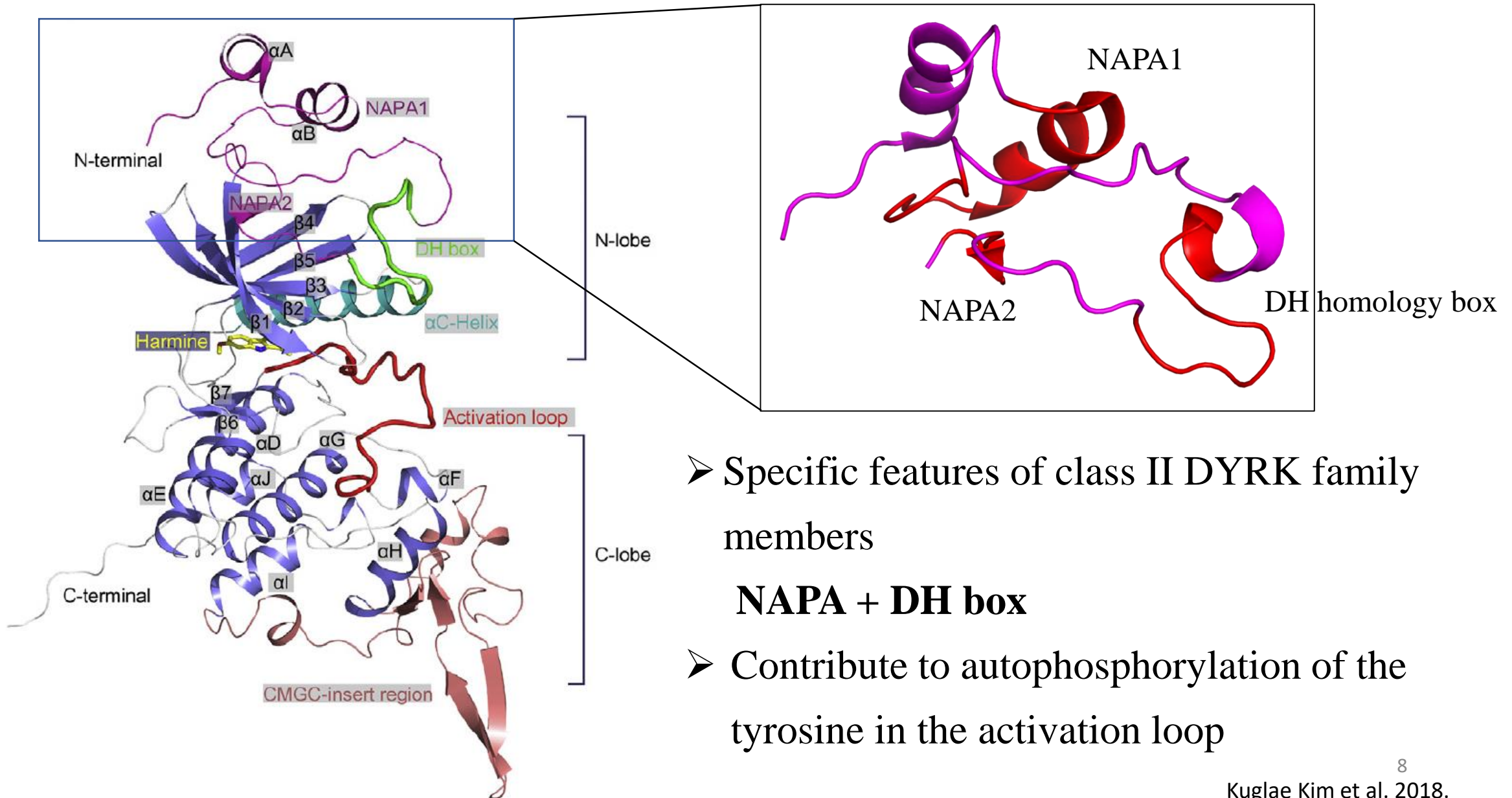
NAPA : N-terminal autophosphorylation
accessory domain

Harmine

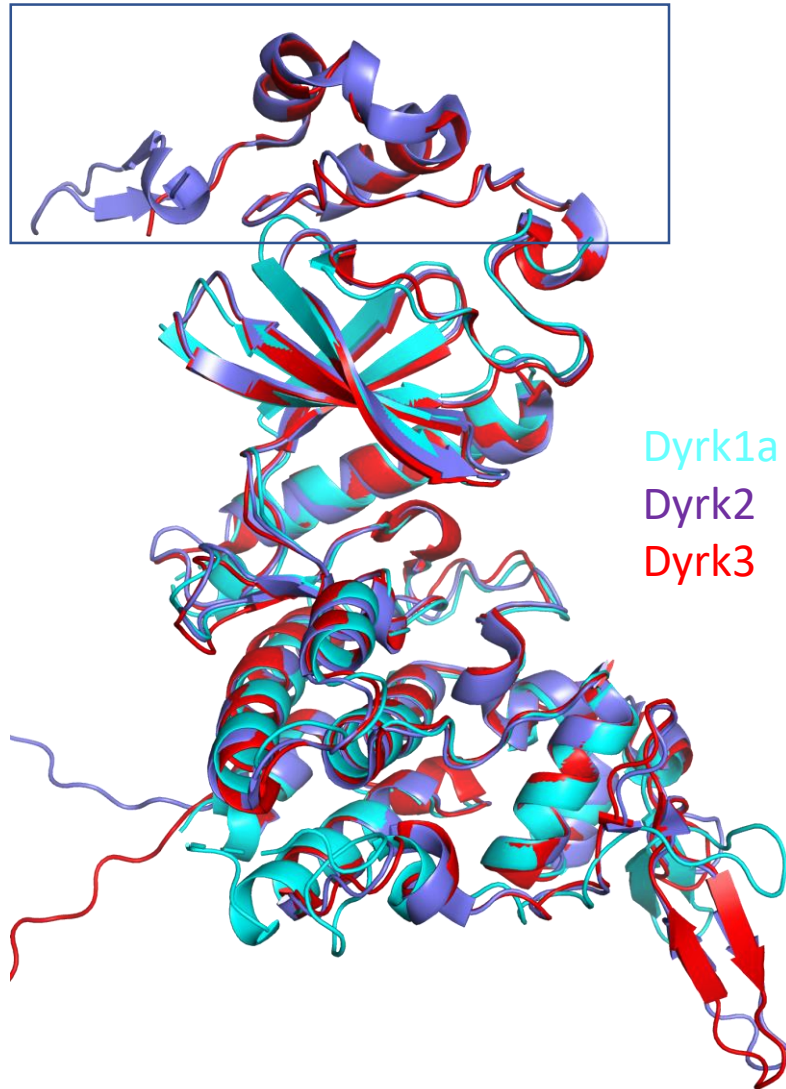


CAS No. : 442-51-3

Structural analysis of Dyrk3



Structural analysis of Dyrk3



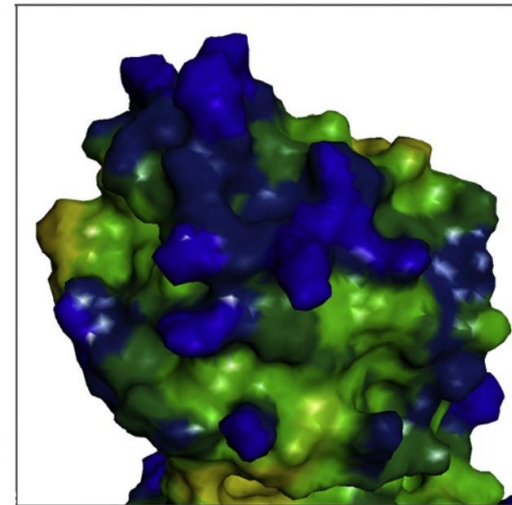
- **Structural alignment**

Dyrk3 vs Dyrk1A (RMSD) : 0.948

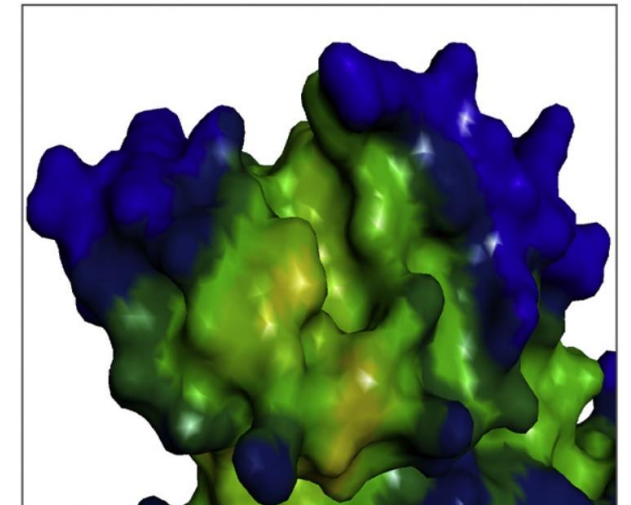
Dyrk3 vs Dyrk2 (RMSD) : 0.637

- NAPA is an **important domain** for DYRK3 protein stability

DYRK3 (132-572)



DYRK3 (Δ NAPA)

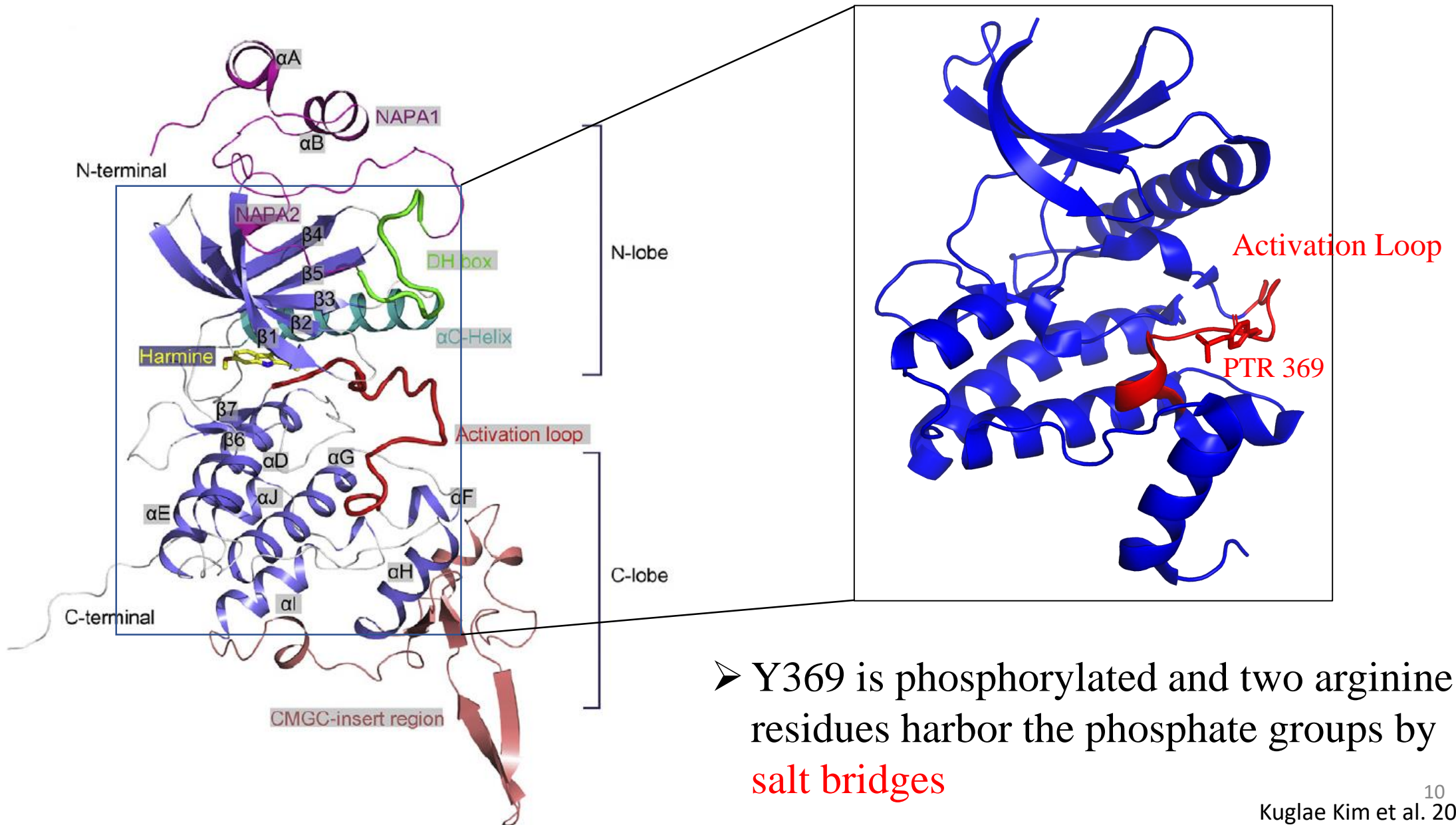


Hydrophilic



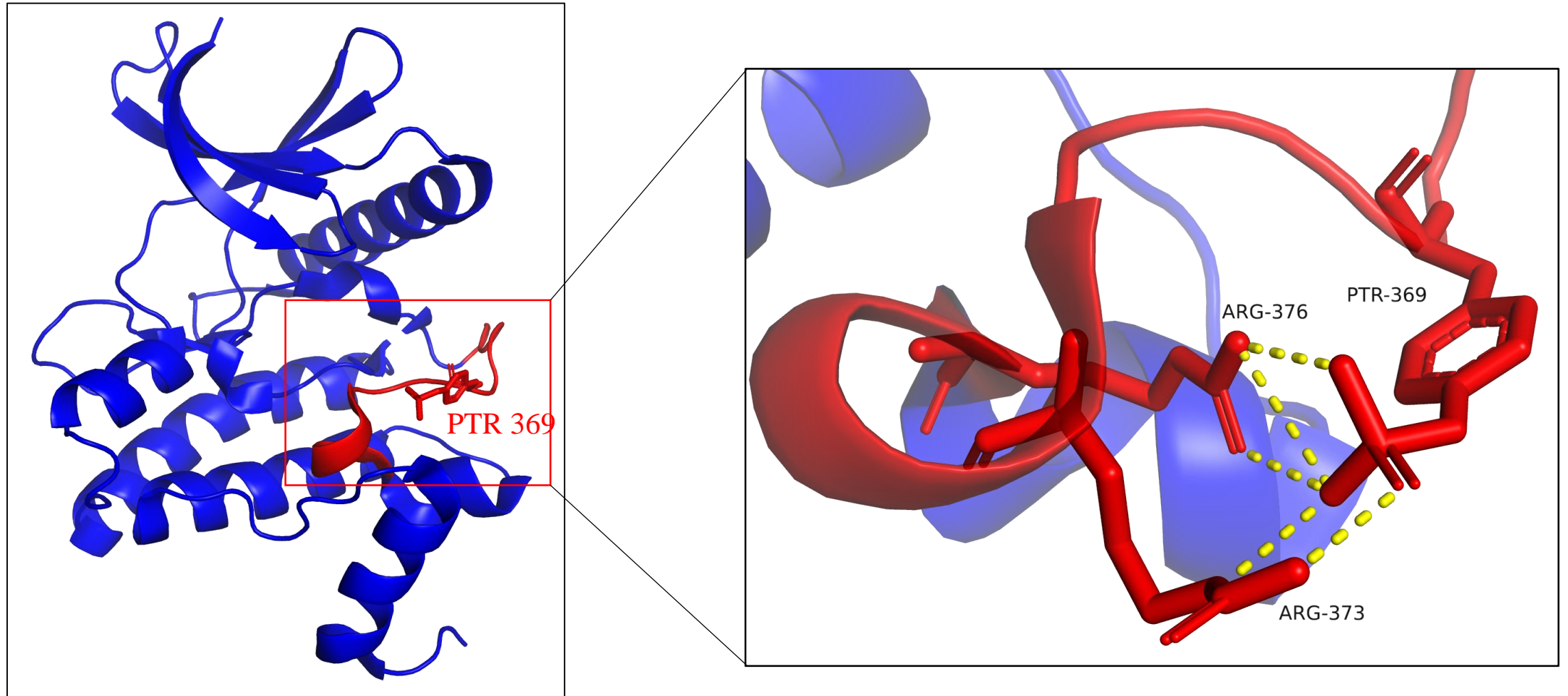
Hydrophobic

Structural analysis of Dyrk3



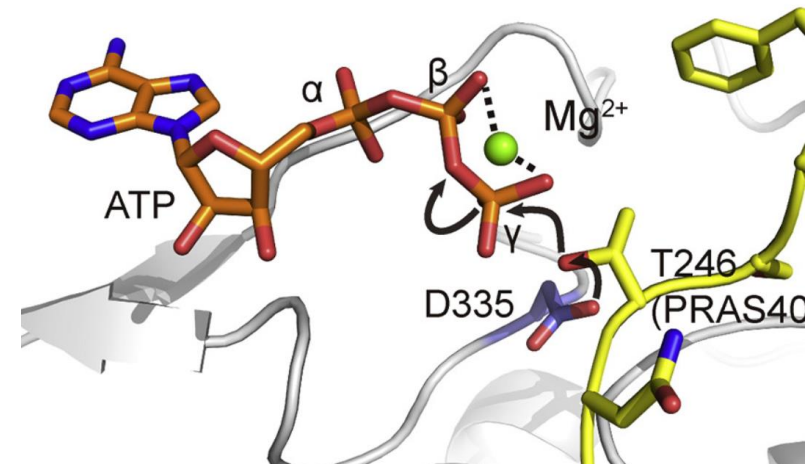
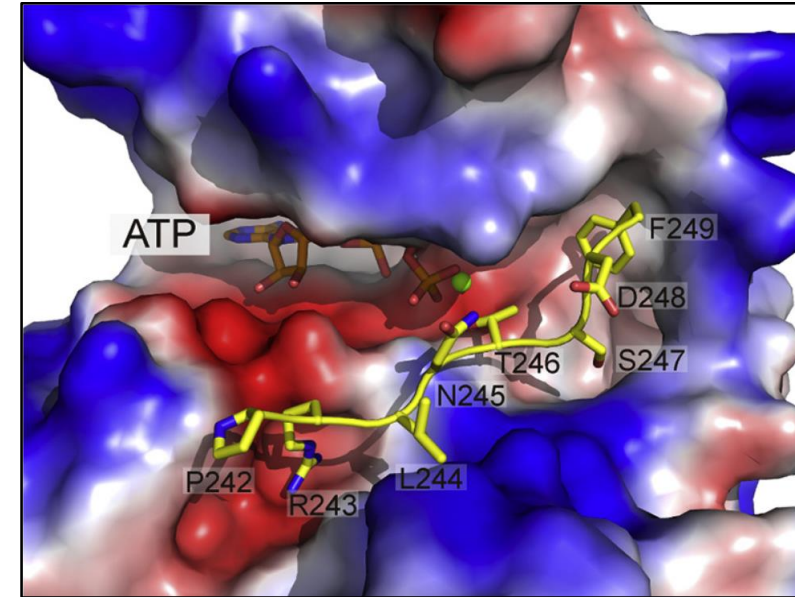
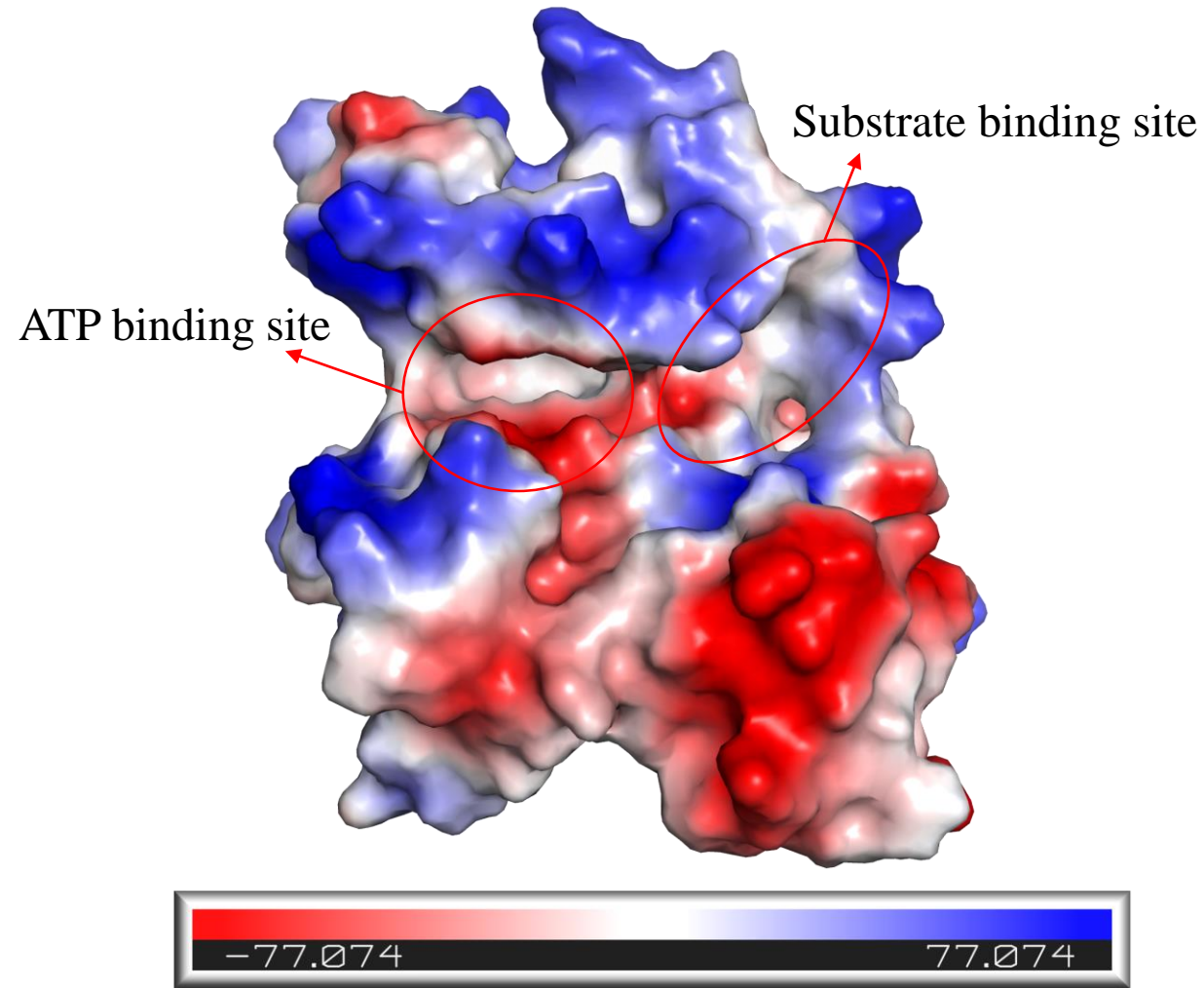
- Y369 is phosphorylated and two arginine residues harbor the phosphate groups by **salt bridges**

Structural analysis of Dyrk3

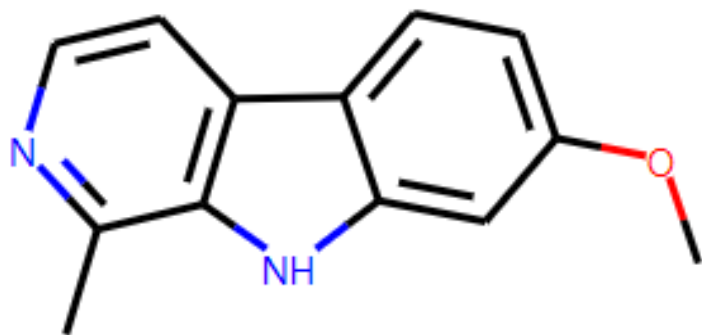


Y369 is phosphorylated and two arginine residues harbor the phosphate groups by **salt bridges**

Structural analysis of Dyrk3



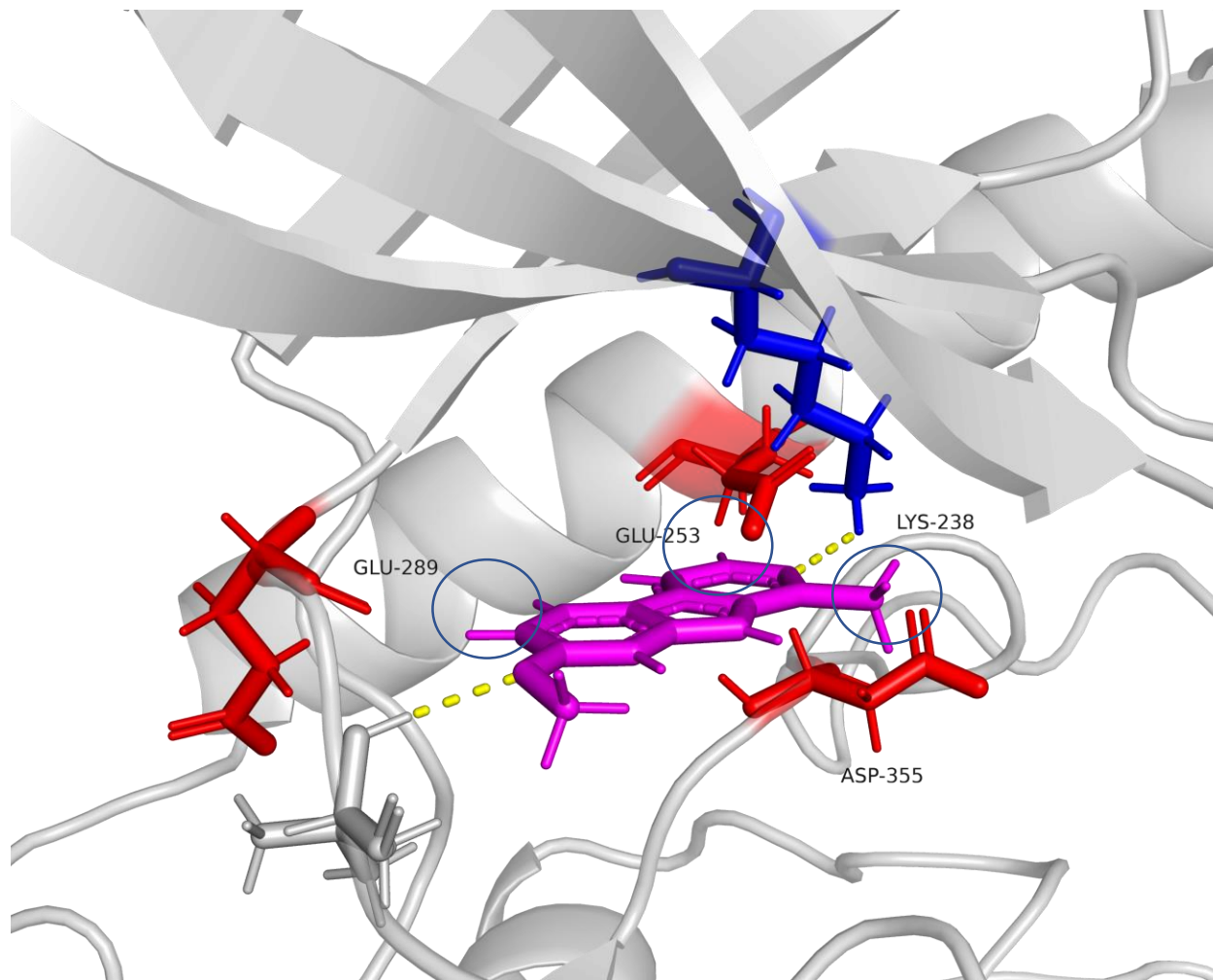
Structure-based drug design



Harmine
IC₅₀ 0.8 μ M

Molecular structure optimization

- Add more polar contacts
- Increase hydrophobic interaction



Structure-based drug design

Molecular structure optimization

- Add more polar contacts
- Increase hydrophobic interaction



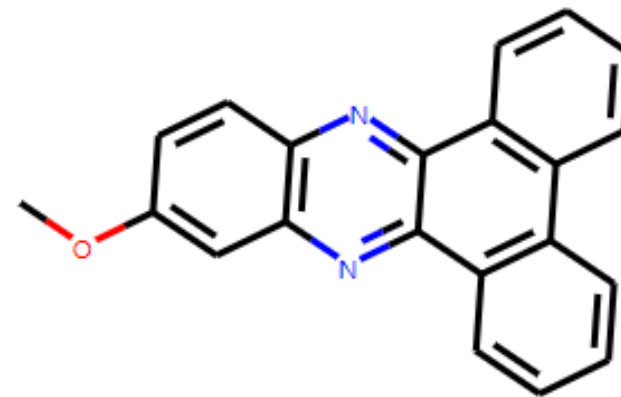
Similarity Searching

Query Molecule : Ligand of PDB:5Y86

Target Database : Specs (210776 commercial compounds)

Method : Tanimoto Similarity

Fingerprint : FP2 (1024 bit) Calculated by Open Babel



11-methoxydibenzo[a,c]phenazine

SMILES:c12c(nc3c(n1)cc(cc3)OC)c1c(c3c2cccc3)cccc1

Tanimoto : 0.833333

Ref: <https://www.specs.net/>

Ref: http://openbabel.org/wiki/Main_Page

Summary

下一步工作计划

演化分析:

- 针对45R 设计系列突变体, 研究该位点与压力粒子定位的关系, 以为其分子机制提供更多的信息。

结构特性分析:

- 基于上述结构分析, 针对Harmine进行增加极性相互作用的侧链修饰
- 合成增加疏水相互作用的新小分子, 如有可能则继续对该分子进行修饰, 增加其亲和力
- 对合成的小分子进行亲和力测定: ITC (等温量热滴定) SPR (表面等离子共振) MST (微量热涌动), 筛选出最具有成药性的分子。

THANKS

Contribute:

报告人：刘番

背景资料收集：王治、张莹、刘番

演化分析：滕德群、孟德兰

结构分析：刘番、邓喆方

基于结构的药物设计：刘番、徐聪颖

Half day on the Web, saves you half month in the lab!

Supplementary

| SMI | Name | Tanimoto |
|---|--|----------|
| <chem>c12c(nccc2C)c(ccc1OC)OC</chem> | 5,8-dimethoxy-4-methylquinoline | 0.555556 |
| <chem>c1(c2ncccc2ncc1Br)O</chem> | 3-bromo[1,5]naphthyridin-4-ol | 0.557143 |
| <chem>c12c(c(cc(n1)OC)OC)cc(c(c2)OC)OC</chem> | 2,4,6,7-tetramethoxyquinoline | 0.56338 |
| <chem>n1(c2c(cc1)cc(cc2)OC)CCN</chem> | 2-(5-methoxy-1H-indol-1-yl)ethanamine | 0.571429 |
| <chem>c12c(cc(nc1cccc2OC)OC)OC</chem> | 2,4,5-trimethoxyquinoline | 0.634921 |
| <chem>c12c(nc3c(n1)cc(Oc1ccc(N)cc1)cc3)c1c(c3c2c c(cc3)I)cccc1</chem> | 4-[(7-iododibenzo[a,c]phenazin-11-yl)oxy]phenylamine | 0.652174 |
| <chem>c12c(cc(cc1)Cl)nccc2OC</chem> | 7-chloro-4-quinolinyl methyl ether | 0.655738 |
| <chem>c1(=O)c2c([nH]c3c1cccc3)cccc2OC</chem> | 1-methoxy-9(10H)-acridinone | 0.666667 |
| <chem>[n+]12c3cc(ccc3ccc1cccc2)OC</chem> | 9-methoxypyrido[1,2-a]quinolinium | 0.8 |
| <chem>c12c(nc3c(n1)cc(cc3)OC)c1c(c3c2cccc3)cccc1</chem> | 11-methoxydibenzo[a,c]phenazine | 0.833333 |

Supplementary

| Properties | Value | Probability |
|-----------------------------|-------|-------------|
| Human Intestinal Absorption | + | 0.9966 |
| Human oral bioavailability | + | 0.8000 |
| Honey bee toxicity | + | 0.6911 |
| Ames mutagenesis | + | 0.8600 |
| CYP1A2 inhibition | + | 0.9551 |
| P-glycoprotein inhibitor | + | 0.6419 |